

八戸工業大学 正員 ○ 稲山 和男
八戸工業大学 正員 長谷川 明
YFTウェア・システム・サービス 正員 向谷地 均

1.はじめに

静的解析においては、格点の剛結の影響は2次応力の照査を行うことにより考慮される。動的解析において、格点の剛結の影響が固有値およびモードカーブなどのように表わされるかを調べるために剛結合解析モデルを設定し、連続体解析を行った。また、離散化手法の1つであるランプトマスによる方法²⁾も固有値およびモードカーブを求め比較検討を行った。

2.連続体解析手法

正規関数は次式のようにした。³⁾

$$\begin{aligned} Y_R &= C_{1R} \sin \gamma_0 Z_R + C_{2R} \cos \gamma_0 Z_R + C_{3R} \sinh \gamma_0 Z_R + C_{4R} \cosh \gamma_0 Z_R \\ X_R &= C_{5R} \sin \gamma_0 Z_R + C_{6R} \cos \gamma_0 Z_R \end{aligned} \quad (1)$$

ここで、 Y_R :横方向変位、 X_R :縦方向変位、 R :部材番号、 $\gamma_0 = \sqrt{P/C_R}$ 、 $P = p/c_0$ 、 $c_0 = \sqrt{E/I_p}$ 、 $C_R = \sqrt{I_p/A_R}$ 、 p :固有振動数、 E :ヤング率、 p :密度、 I_p :部材長、断面2次モーメント、 A_R :部材長の断面積、 Z_R :部材長の軸方向座標、 $C_{1R} \sim C_{6R}$:定数

式(1)の正規関数を部材ごとに設定し、各格点における適合条件を満足するように定数 $C_{1R} \sim C_{6R}$ を定め、格点ごとに動的平衡方程式を立て、格点変位を未知量とする振動方程式を作成し、固有値 λ_{0l} (l :部材長)を求めた。この振動方程式は実対称行列式となる。また、振動方程式から固有値を求めるさい、 $\gamma_0 = R_k Y_R^2$ の関係を用いた。

3. 解析結果および考察

1)計算モデルについて 図1に計算モデルを示す。部材長 l および部材断面はすべて等しい。

2)固有値 λ_{0l} について 細長比 H ($H = l/R, R = \sqrt{I_p/A}$)に対する固有値 λ_{0l} のグラフを図2に示す。共に無次元量である。連続体解析において、1stは細長比 H と関係なくほぼ一定値をとる。2nd以上では細長比 H が大きくなれば、固有値 λ_{0l} は小さくなる。ランプトマスによる方法では細長比 H に無関係に固有値 λ_{0l} が求まる。1stは連続体解析の1stとほぼ一致し、2nd以上では連続体解析における細長比 $H = 25$ 付近の値となる。

3)モードカーブについて 図3にランプトマスによる方法で求めたモードカーブを示す。図4・1から図4・5に連続体解析における細長比 $H = 25, 50, 75, 100, 125$ の場合のモードカーブをそれぞれ示す。連続体解析において、1stは細長比 H と関係なくほぼ同じカーブとなり、細長比 H が小さいほ

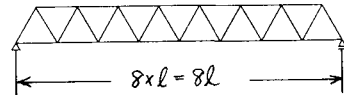


図1 計算モデル

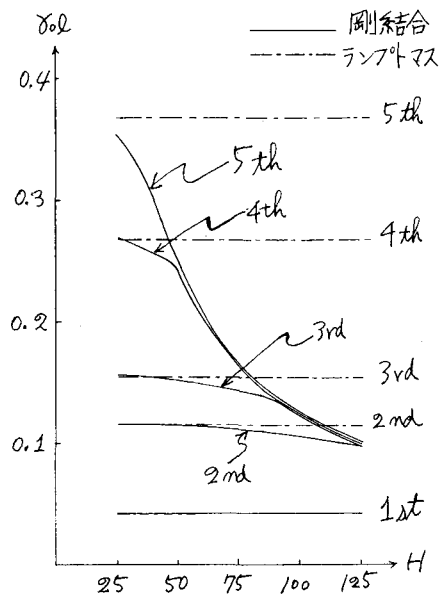


図2 細長比 H に対する固有値 λ_{0l} のグラフ

と格点間を結ぶ曲線は直線となる。2nd以上では細長比 $H=1/25$ 以外、高次になればなるほどまた細長比 H が大きくなればなるほど格点間を結ぶ曲線の曲率は大きくなる。逆に低次になればなるほど細長比 H が小さくなればなるほど格点間を結ぶ曲線の曲率は小さくなり、直線に近くなる。ランプトマスによる方法求めたモードカーブは、格点間を直線で結んだものであるが、次数が低いほど連続体解析における細長比 $H=25$ のモードカーブと一致してゆき、1次ではほとんど一致する。

4)まとめ 図1の解析モデルにおいて、1次に関しては連続体解析の結果とランプトマスによる結果とかよく一致した。2nd以上では、細長比 H が小さいほど、モード数が低いほど両方法の結果が一致する。

5. おわりに

1次は、格点の剛結合の影響をほとんどうけない。即ち、ランプトマスの方法で十分よい結果を得られるといふからだ。しかし、2nd以上では、高次になればなるほど細長比 H が大きくなればなるほど格点の剛結合の影響を受ける。また、細長比 $H=1/25$ 前後の3rd以上では固有値が接近しているため、今後の検討の余地があると考える。

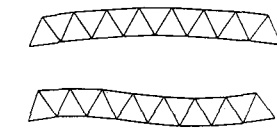
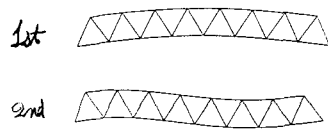
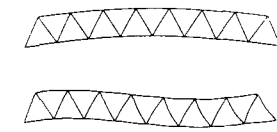
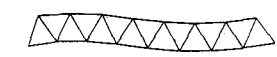
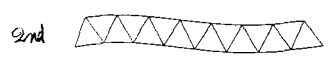
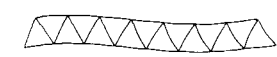
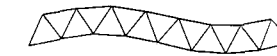
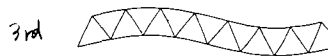
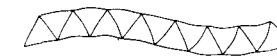
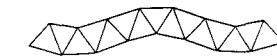
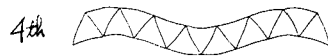
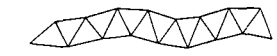
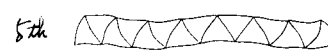
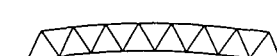
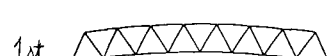
計算は、図化は、東北大學大型計算機センターのACOP-1000を使用した。

<参考文献>

1)向谷地均、種山和男、長谷川明：昭和57年度東北建築技術研究発表会講演概要、35-36

2)小堀義雄：応用土木振動学、52-56、森北出版(1982)

3)種山和男、石田孝次、大久保達美：第39回年次学術講演会講演概要集工、423-424

		
		
		
		
		
図3 ランプトマスの場合のモードカーブ	図4.1 剛結合、 $H=25$ のモードカーブ	図4.2 剛結合、 $H=50$ のモードカーブ
		
		
		
		
図4.3 剛結合、 $H=75$ のモードカーブ	図4.4 剛結合、 $H=100$ のモードカーブ	図4.5 剛結合、 $H=100$ のモードカーブ